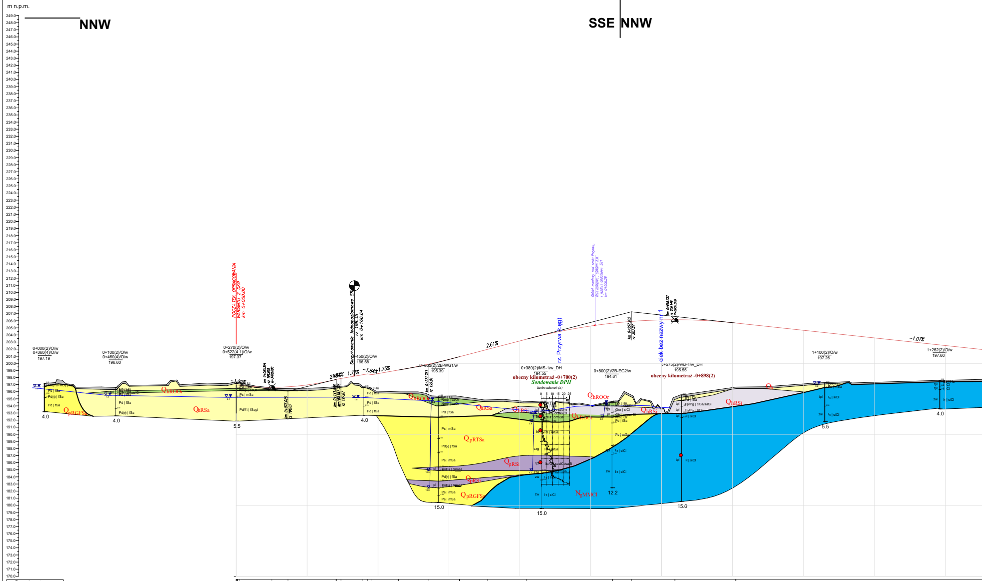
m n.p.m.
249.0
248.0
247.0
246.0
245.0
244.0
243.0
242.0
241.0
240.0
239.0
238.0
237.0
236.0
235.0
234.0
233.0
232.0
231.0
230.0
229.0
228.0
227.0
226.0
225.0
224.0
223.0
222.0
221.0
220.0
219.0
218.0
217.0
216.0
215.0
214.0
213.0
212.0
211.0
210.0
209.0
208.0
207.0
206.0
205.0
204.0
203.0
202.0
201.0
200.0
199.0
198.0
197.0
196.0
195.0
194.0
193.0
192.0
191.0
190.0
189.0
188.0
187.0
186.0
185.0
184.0
183.0
182.0
181.0
180.0
179.0
178.0
177.0
176.0
175.0
174.0
173.0
172.0
171.0
170.0
NNW
SSE
NNW
POCZĄTEK OPRACOWANIA WARIANTU 2 DK9 km 0+000.00
Skrzyżowanie jednopoziomowe SR rz 198.35 km 0+166.64
Obiekt mostowy nad rzeką Przyrwą, linią kolejową, ciekiem b.n. i jezdnią dodatkową EG1 km 0+508.26
rz. Przyrwa (Łęg)
ciek bez nazwy nr 1
0+000(2)/O/w
0+360(4)/O/w
197.19
0+100(2)/O/w
0+460(4)/O/w
196.60
0+270(2)/O/w
0+522(4.1)/O/w
197.37
0+450(2)/O/w
196.68
0+535(2)/2B-WG1/w
195.39
0+380(2)/MS-1/w_DH
194.55
obecny kilometraż -0+700(2)
Sondowanie DPH
liczba uderzeń (n)
0 5 10 15 20 25
0+800(2)/2B-EG2/w
194.61
0+575(2)/WD-1/w_DH
195.55
obecny kilometraż -0+898(2)
1+100(2)/O/w
197.26
1+262(2)/O/w
197.60
km 0+050.394 rz 196.628 R=3700.000
km 0+073.025 rz 196.07
km 0+141.806 rz 197.87
km 0+271.761 rz 199.81
km 0+557.205 rz 207.27
km 0+618.737 rz 206.146 R=8000.000
-1.22%
2.48%
1.72%
-1.84%
1.75%
2.61%
-1.07%
QpRGFSa
QhRSa
QhROOr
QpRTSa
QpRSi
QhRSi
QhROOr
QhROOr
QpRGFSa
NgMMCl
Qh
Pd | fSa
Pd(r) | fSa
Pd/Il | fSagl
Pd(r) | fSa
Ps | mSa
Gb | Hu
Nmp | saOr
Nm | Or
Il/Pg | clSa/saSi
Gsz | siCl
Gsz/Iz | siCl
Iz | siCl
Ip/Gi | sasiCl/saSi
Il/Ps | Simsa
tpl
pl
szg
zw
4.0
4.0
5.5
4.0
15.0
15.0
12.2
15.0
5.5
4.0

Rz. proj. - rz. terenu Nasyp/wykop	[illegible] -0.04 0.36 0.56 1.83 1.10 1.87 2.07 2.27 2.54 3.02 4.38 5.20 5.76 6.98 8.51 8.72 11.13 10.97 10.41 12.45 10.80 9.11 9.01 7.63 6.30 4.89
Warunki geomorfologiczne:	formy pochodzenia rzecznego- niekorzystne formy pochodzenia rzecznego- niekorzystne formy pochodzenia rzecznego- niekorzystne średniokorzystne
Warunki hydrogeologiczne:	średniokorzystne korzystne korzystne
Warunki geologiczne:	bardzo niekorzystne - grunty organiczne korzystne bardzo niekorzystne - grunty organiczne korzystne
Zagrożenia geologiczne:	korzystne średniokorzystne - obszar podmokły korzystne
Ocena warunków geologiczno-inżynierskich	NIEKORZYSTNE ŚREDNIOKORZYSTNE NIEKORZYSTNE ŚREDNIOKORZYSTNE
KILOMETRAŻ	[illegible] 50.09 73.03 00 48.81 42.28 78.62 85.45 91.46 00 28.68 50 66.30 71.76 00 14.84 50 53.97 00 09.85 50 00.00 30.97 50 57.20 00 18.74 50 00 04.80 50 00 50 00 50 00.00 50

0+000.00

0+500.00

1+000.00

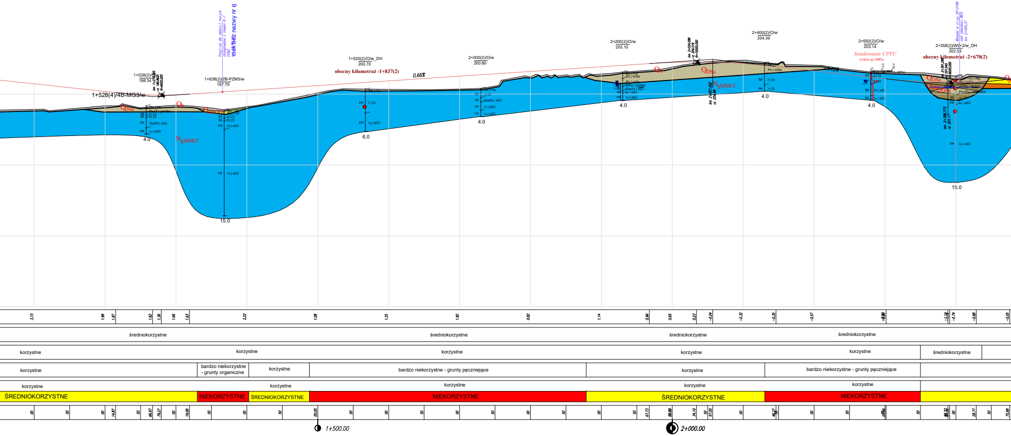

ciek bez nazwy nr 6
Przejście dla zwierząt małych zintegrowane z rowem R-1 PZM2
1+528(2)/w
198.34
1+528(4)/4B-MG3/w
km 1+278.365
rz 199.863
R=6000.000
1+638(2)/2B-PZM3/w
197.79
1+520(2)/O/w_DH
200.70
obecny kilometraż -1+837(2)
0.66%
2+000(2)/O/w
200.80
2+200(2)/O/w
203.10
km 2+034.086
rz 204.519
R=10000.000
km 2+057.002
rz 204.89
2+400(2)/O/w
204.39
-1.12%
2+550(2)/O/w
203.14
Sondowanie CPTU
wykres qc (MPa)
10.0
20.0
Wiadukt w ciągu DP1218R nad obwodnicą WD3
km 2+405.37
2+358(2)/WD-2/w_DH
202.53
obecny kilometraż -2+670(2)
km 2+391.286
rz 201.645
R=8000.000
km 2+368.773
rz 201.17
QDSa
Qh
QhROOr
NgMMCl
Ps | grmSa
Grz/Iπ | siCl
Iπ | siCl
I | Cl
Gb | Hu
Ps | mSa
I/Ps | Clmsa
Ps+Pg | clmSa
zw
tpl
4.0
15.0
6.0
3.73
1.99
1.97
1.62
1.36
1.66
1.63
2.22
1.08
1.25
1.92
0.82
1.14
0.96
0.65
0.23
-0.04
-0.32
-0.35
-0.57
-1.14
-0.74
-0.88
-0.05
średniokorzystne
średniokorzystne
średniokorzystne
średniokorzystne
korzystne
korzystne
korzystne
korzystne
korzystne
średniokorzystne
korzystne
bardzo niekorzystne - grunty organiczne
korzystne
bardzo niekorzystne - grunty pęczniejące
korzystne
bardzo niekorzystne - grunty pęczniejące
korzystne
korzystne
korzystne
korzystne
korzystne
ŚREDNIOKORZYSTNE
NIEKORZYSTNE
ŚREDNIOKORZYSTNE
NIEKORZYSTNE
ŚREDNIOKORZYSTNE
NIEKORZYSTNE
00
50
14.87
66.97
79.27
19.08
00.00
67.73
34.10
57.00
46.27
28.77
75.98
1+500.00
2+000.00

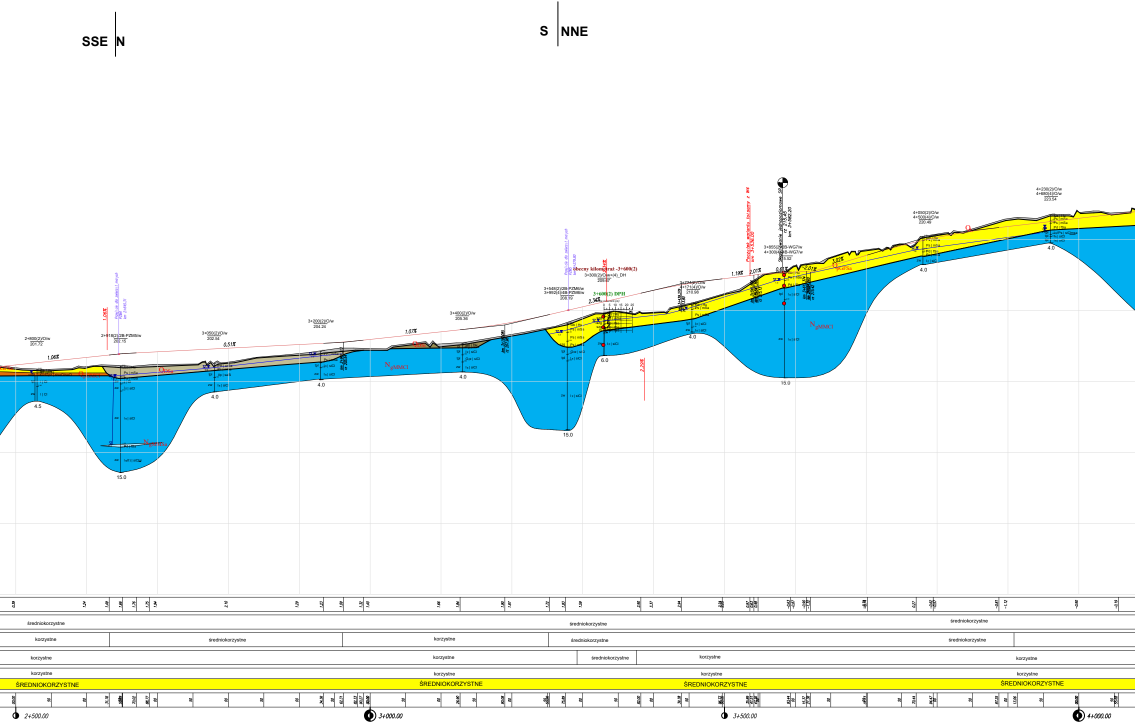
SSE
N
S
NNE
2+800(2)/O/w
201.72
1.06%
2+918(2)/2B-PZM5/w
202.15
Przejście dla zwierząt małych
PZM5
km 2+665.31
3+050(2)/O/w
202.54
0.51%
3+200(2)/O/w
204.24
1.07%
3+400(2)/O/w
205.36
3+548(2)/2B-PZM6/w
3+992(4)/4B-PZM6/w
208.19
Przejście dla zwierząt małych
PZM5
km 3+279.80
obecny kilometraż -3+600(2)
3+300(2)/O/w+(4)_DH
209.67
3+600(2) DPH
2.34%
3+724(2)/O/w
4+171(4)/O/w
210.98
1.19%
2.01%
Początek wariantu tożsamy z W4
km 3+536.00
Skrzyżowanie jednopoziomowe SR
rz 215.45
km 3+582.20
3+855(2)/2B-WG7/w
4+300(4)/4B-WG7/w
215.52
0.61%
-2.01%
3.02%
4+050(2)/O/w
4+500(4)/O/w
220.49
4+230(2)/O/w
4+680(4)/O/w
223.54
2.29%
$\mathrm{N_{gMMCl}}$
$\mathrm{Q_{DSa}}$
$\mathrm{Q_{pGFSa}}$
4.5
15.0
4.0
4.0
4.0
4.0
15.0
6.0
4.0
15.0
4.0
4.0
Gb | Hu
Ps | mSa
Pd | fSa
Iπ | siCl
Gπ | siCl
zw
tpl
średniokorzystne
korzystne
średniokorzystne
korzystne
średniokorzystne
średniokorzystne
korzystne
korzystne
średniokorzystne
korzystne
korzystne
korzystne
korzystne
korzystne
korzystne
ŚREDNIOKORZYSTNE
ŚREDNIOKORZYSTNE
ŚREDNIOKORZYSTNE
ŚREDNIOKORZYSTNE
2+500.00
3+000.00
3+500.00
4+000.00

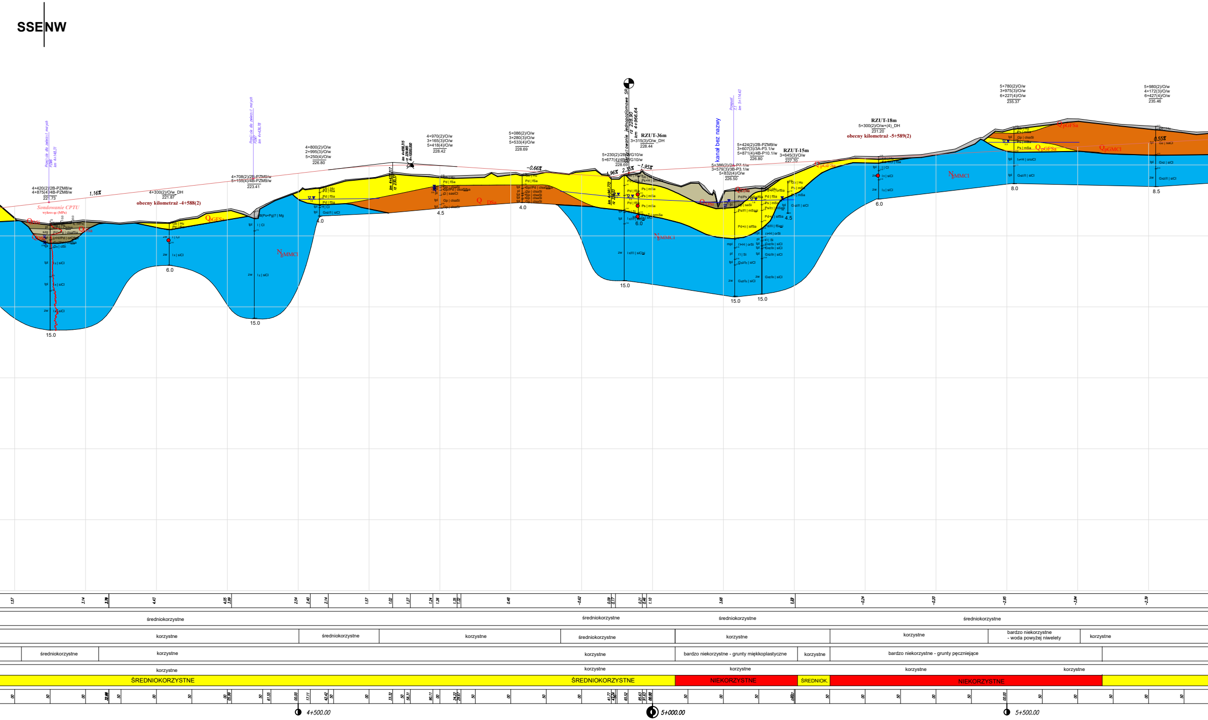
SSE
NW
4+420(2)/2B-PZM8/w
4+875(4)/4B-PZM8/w
221.73
Sondowanie CPTU
1.16%
4+300(2)/O/w_DH
221.87
obecny kilometraż -4+588(2)
4+708(2)/2B-PZM9/w
5+155(4)/4B-PZM9/w
223.41
4+800(2)/O/w
2+995(3)/O/w
5+250(4)/O/w
226.80
4+970(2)/O/w
3+165(3)/O/w
5+418(4)/O/w
228.42
5+086(2)/O/w
3+280(3)/O/w
5+533(4)/O/w
228.69
-0.66%
5+230(2)/2B-P/G10/w
5+677(4)/4B-P/G10/w
228.65
RZUT-36m
3+315(3)/O/w_DH
228.44
1.96%
2.35%
-1.95%
kanał bez nazwy
5+386(2)/2A-P7.1/w
3+579(3)/3B-P3.1/w
5+832(4)/O/w
226.50
5+424(2)/2B-PZM9/w
3+607(3)/3A-P3.1/w
5+871(4)/4B-P10.1/w
226.80
RZUT-15m
3+645(3)/O/w
227.70
RZUT-18m
5+300(2)/O/w+(4)_DH
231.20
obecny kilometraż -5+589(2)
5+780(2)/O/w
3+975(3)/O/w
6+227(4)/O/w
235.37
5+980(2)/O/w
4+172(3)/O/w
6+427(4)/O/w
235.46
0.55%
N_{gMMCl}
Q_{pGFSa}
Q_{DSa}
Q_{pGMCl}
15.0
6.0
15.0
4.0
4.5
4.0
6.0
15.0
15.0
15.0
4.5
6.0
8.0
8.5
średniokorzystne
korzystne
bardzo niekorzystne - grunty miękkoplastyczne
bardzo niekorzystne - grunty pęczniejące
bardzo niekorzystne - woda powyżej niwelety
ŚREDNIOKORZYSTNE
NIEKORZYSTNE
ŚREDNIOK.
4+500.00
5+000.00
5+500.00

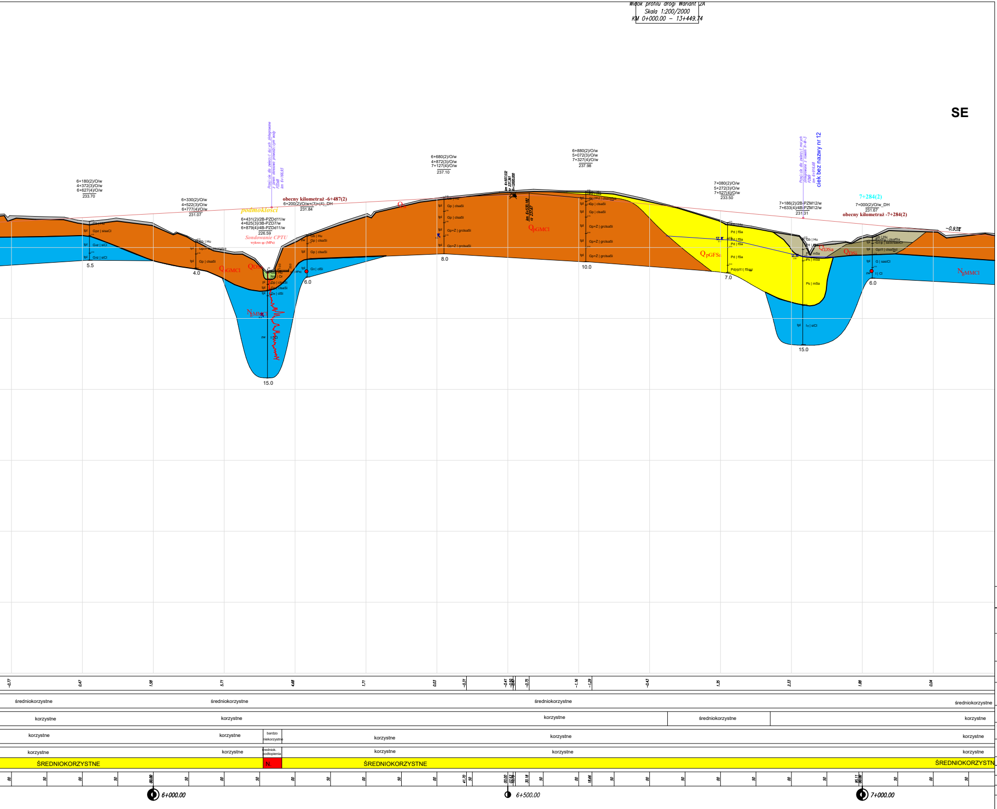
Widok profilu drogi Wariant 2A
Skala 1:200/2000
KM 0+000.00 – 13+449.74
SE
6+180(2)/O/w
4+372(3)/O/w
6+627(4)/O/w
233.70
6+330(2)/O/w
4+522(3)/O/w
6+777(4)/O/w
231.07
Przejście dla zwierząt dużych zintegrowane z jarem okresowo prowadzącym wody PZDd8 km 6+166.93
podmokłości
obecny kilometraż -6+487(2)
6+200(2)/O/w+(3)+(4)_DH
231.84
6+431(2)/2B-PZDd11/w
4+625(3)/3B-PZD7/w
6+879(4)/4B-PZDd11/w
226.59
Sondowanie CPTU
wykres qc (MPa)
Gb | Hu
Gpz | sisaCl
Grz | siCl
Gp | clsaSi
Gr | clSi
Nm | Or
5.5
4.0
6.0
15.0
Q_{pGMCl}
Q_{DSi}
N_{gMMCl}
Q_h
6+680(2)/O/w
4+872(3)/O/w
7+127(4)/O/w
237.10
km 6+507.532
rz 237.361
R=12000.000
km 6+530.182
rz 237.67
Gp+Ż | grclsaSi
8.0
6+880(2)/O/w
5+072(3)/O/w
7+327(4)/O/w
237.98
10.0
7+080(2)/O/w
5+272(3)/O/w
7+527(4)/O/w
233.50
Pd | fSa
Pd(ł)/Π | fSasi
7.0
Q_{pGFSa}
Przejście dla zwierząt małych zintegrowane z rowem R-W-3 PZM9 km 6+916.68
ciek bez nazwy nr 12
7+186(2)/2B-PZM12/w
7+633(4)/4B-PZM12/w
231.31
Ps | mSa
Iπ | siCl
Q_{DSa}
7+284(2)
7+000(2)/O/w_DH
231.67
obecny kilometraż -7+284(2)
Pd+Pg | clsafSa
G/πp | saSi/sasiCl
Gp//I | clsaSiCl
G | sasiCl
I | Cl
-0.93%
-0.77
0.47
1.58
5.71
4.68
1.71
0.03
-0.31
-0.41
-0.50
-0.75
-1.16
-1.29
-0.43
1.35
2.33
1.88
0.04
średniokorzystne
korzystne
bardzo niekorzystne
średniok. podtopienia
ŚREDNIOKORZYSTNE
N.
6+000.00
6+500.00
7+000.00

OBJAŚNIENIA:

2.61% - projektowana niweleta

- profile i etykiety projektowanych elementów konstrukcyjnych drogi

- powierzchnia terenu

7+527(4)/O/w.....
6+431(2)/2B-PZDd11/w.....
1+528(4)/4B-MG3/w...... - wykonane otwory badawcze

6+200(2)/O/w+(3)+(4)_DH
1+285(4)/MS-1/w_DH - archiwalne otwory hydrogeologiczne

7+527(4)/O/w - numer otworu
233.50 - rzędna terenu (m n.p.m.)

4.3 - zwierciadło swobodne (m p.p.t.)

5.9 4.4 - zwierciadło naporowe (m p.p.t.)

3.8 - sączenie (m p.p.t.)

Pd, Gp, Π - symbol gruntu

fSa,mSa - symbol gruntu zgodny z ISO

- granice stratygraficzne

- granice genetyczne

● - miejsce pobrania próbki kategorii B

A_{Mg}
Q_{pRTSa}
Q_{pGMCl}
N_{gMMCl} - symbol warstwy litologicznej

Wykresy sondowań

statycznego

dynamicznego

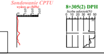

0 20 40 60

Inwestor:
GDDKiA
Skarb Państwa - Generalny Dyrektor Dróg Krajowych
i Autostrad - działający przez Generalną Dyrekcję Dróg
Krajowych i Autostrad Oddział w Rzeszowie
35-959 Rzeszów ul. Legionów 20

Wykonawca:
PROMOST CONSULTING
ul. Jana Niemierskiego 4
35-307 Rzeszów

Podwykonawca:
GEO-MI
GEO-MI Pracowania Geologiczna
Michał Małuszyński
ul. Grażyny 16, lok. 14, 93-309 Łódź

Zadanie inwestycyjne:
Budowa obwodnicy Kolbuszowej
w ciągu drogi krajowej DK9

Obiekt budowlany:
Droga krajowa nr 9 - obwodnica Kolbuszowej

Nazwa części opracowania:
STUDIUM GEOLOGICZNO-INŻYNIERSKIE

Tytuł rysunku:
Syntetyczny przekrój geologiczny
Wariant nr 2A - km 0+000 - 7+100

Funkcja:	Imię i Nazwisko:	Branża/nr uprawnień:	Podpis:
Geolog:	mgr Tomasz Piwowarski	geologia VII-1521	
Geolog:	mgr inż. Anna Rzempowska	geologia VII-1822	A. Rzempowska

Nr umowy:	Skala:	Data:	Stadium:	Branża:	Nr rysunku:
2413.21.2020 z dn. 12.04.2021	1:2000/200	MARZEC 2023	STEŚ-R Etap I	G	10.W2A.1

NW

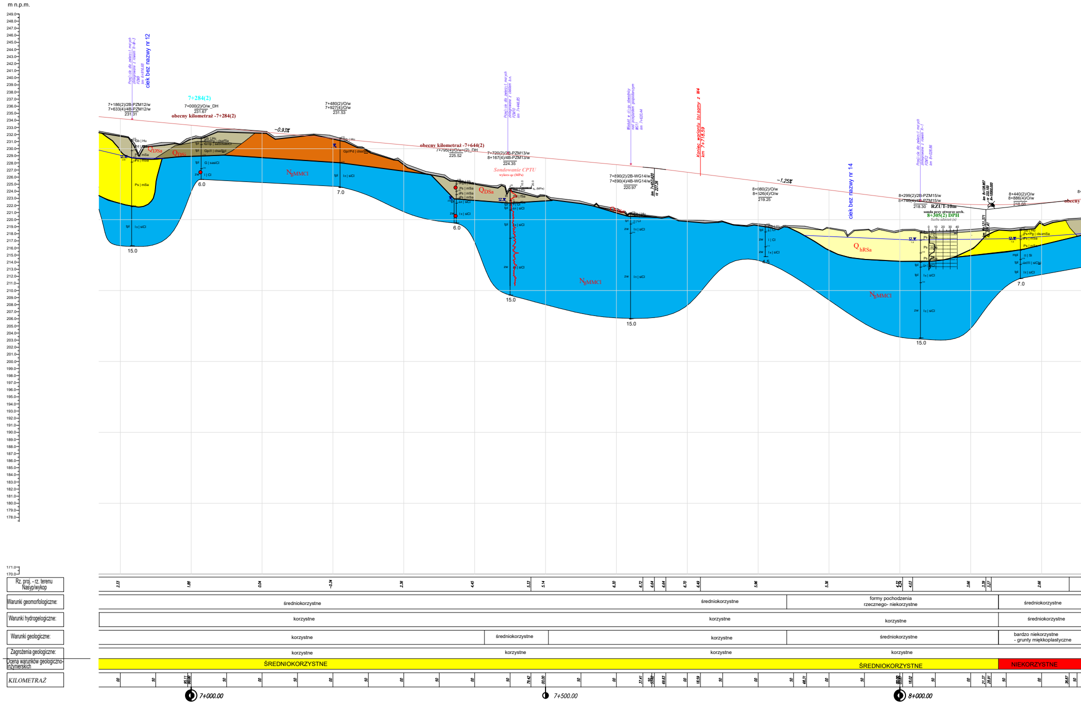
m n.p.m.
249.0
178.0
171.0
170.0
Przejście dla zwierząt małych zintegrowane z rowem R-III-3 PZM9 km 6+916.68
ciek bez nazwy nr 12
7+284(2)
7+186(2)/2B-PZM12/w
7+633(4)/4B-PZM12/w
231.31
7+000(2)/O/w_DH
231.67
obecny kilometraż -7+284(2)
7+480(2)/O/w
7+927(4)/O/w
231.53
-0.93%
QDSa
QDSi
NgMMCl
Gb | Hu
Pd+Pg | clsafSa
G/Ip | saSi/sasiCl
Gp/I | clsaSicl
G | sasiCl
I | Cl
Ps | mSa
Iπ | siCl
Gp/Pd | clsaSi
tpl
zw
15.0
6.0
7.0
obecny kilometraż -7+644(2)
7+795(4)/O/w+(2)_DH
225.52
Przejście dla zwierząt małych zintegrowane z ciekiem b.n. PZM10 km 7+446.85
7+720(2)/2B-PZM13/w
8+167(4)/4B-PZM13/w
224.35
Sondowanie CPTU
wykres qc (MPa)
0
10.0
20.0
qc (MPa)
Pd | fSa
Wiadukt w ciągu obwodnicy nad przejazdem gospodarczym WG11 km 7+620.44
Koniec wariantu tożsamy z W4 km 7+718.59
7+890(2)/2B-WG14/w
7+890(4)/4B-WG14/w
220.97
km 7+653.620
rz 227.26
-1.25%
8+080(2)/O/w
8+526(4)/O/w
219.25
4.5
ciek bez nazwy nr 14
QhRSa
Przejście dla zwierząt małych zintegrowane z rowem R-1 PZM12 km 8+028.86
8+299(2)/2B-PZM15/w
8+746(4)/4B-PZM15/w
218.30
RZUT-10m
sonda przy otworze arch.
8+305(2) DPH
liczba uderzeń (n)
0
10
20
30
40
km 8+128.907
rz 222.100
R=10000.000
km 8+121.371
rz 221.41
8+440(2)/O/w
8+886(4)/O/w
218.68
obecny
Ps+Pg | clsamSa
nI | Si
Iπ/(I) | siClsi
mpl
Rz. proj. - rz. terenu Nasyp/wykop
2.33
1.88
0.04
-0.34
2.36
4.45
5.33
5.14
6.30
6.72
6.64
6.64
6.70
6.49
5.96
5.36
4.32
4.24
4.03
3.66
3.39
3.27
2.66
Warunki geomorfologiczne:
średniokorzystne
średniokorzystne
formy pochodzenia rzecznego- niekorzystne
średniokorzystne
Warunki hydrogelogiczne:
korzystne
korzystne
korzystne
średniokorzystne
Warunki geologiczne:
korzystne
średniokorzystne
korzystne
średniokorzystne
bardzo niekorzystne - grunty miękkoplastyczne
Zagrożenia geologiczne:
korzystne
korzystne
korzystne
korzystne
Ocena warunków geologiczno-inżynierskich
ŚREDNIOKORZYSTNE
ŚREDNIOKORZYSTNE
NIEKORZYSTNE
KILOMETRAŻ
00
50
95.11
00.00
50
00
50
00
50
00
50
00
50
79.42
00.00
50
00
37.41
50
53.82
69.83
00
18.59
50
00
50
68.31
00
50
00.00
18.02
50
00
21.37
28.91
50
00
38.87
50
7+000.00
7+500.00
8+000.00

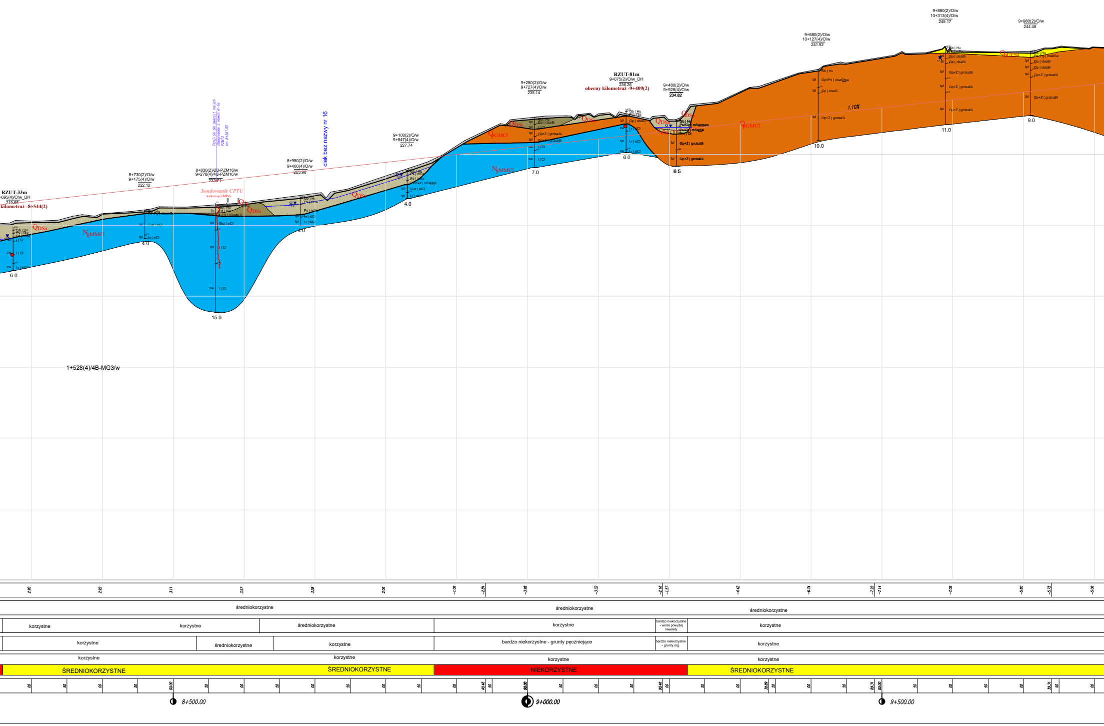
RZUT-33m
695(4)/O/w_DH
219.65
kilometraż -8+544(2)
8+730(2)/O/w
9+175(4)/O/w
222.12
8+830(2)/2B-PZM16/w
9+278(4)/4B-PZM16/w
222.71
Przejście dla zwierząt małych zintegrowane z rowem R-1a PZM13 km 8+561.00
Sondowanie CPTU
wykres qc (MPa)
8+950(2)/O/w
9+400(4)/O/w
223.96
ciek bez nazwy nr 16
9+100(2)/O/w
9+547(4)/O/w
227.74
9+280(2)/O/w
9+727(4)/O/w
235.14
RZUT-81m
9+075(2)/O/w_DH
236.26
obecny kilometraż -9+409(2)
9+480(2)/O/w
9+925(4)/O/w
234.82
9+680(2)/O/w
10+127(4)/O/w
241.92
9+860(2)/O/w
10+313(4)/O/w
245.17
9+980(2)/O/w
244.48
QDSa
QDSi
QGMCl
QpGFSa
NgMMCl
1.10%
Gb | Hu
Pd | fSa
Ps | mSa
Gp | clsaSi
Gp+Ż | grclsaSi
Gpl/Pd | clsaSifsa
Pd+Pg | clsafSa
Ps/Gp | mSaclsasi
Ps/Gz | mSasicl
Gsz | siCl
I | Cl
Iπ | siCl
Nm | Or
6.0
4.0
15.0
4.0
4.0
7.0
6.0
6.5
10.0
11.0
9.0
1+528(4)/4B-MG3/w
2.90
2.92
3.11
3.57
3.28
2.06
-1.06
-2.81
-3.98
-3.32
-2.16
-1.57
-4.42
-6.34
-7.22
-7.14
-7.08
-5.80
-5.73
-5.06
średniokorzystne
średniokorzystne
średniokorzystne
korzystne
korzystne
średniokorzystne
korzystne
bardzo niekorzystne - woda powyżej niwelety
korzystne
korzystne
średniokorzystne
korzystne
bardzo niekorzystne - grunty pęczniejące
bardzo niekorzystne - grunty org.
korzystne
korzystne
korzystne
korzystne
korzystne
ŚREDNIOKORZYSTNE
ŚREDNIOKORZYSTNE
NIEKORZYSTNE
ŚREDNIOKORZYSTNE
8+500.00
9+000.00
9+500.00

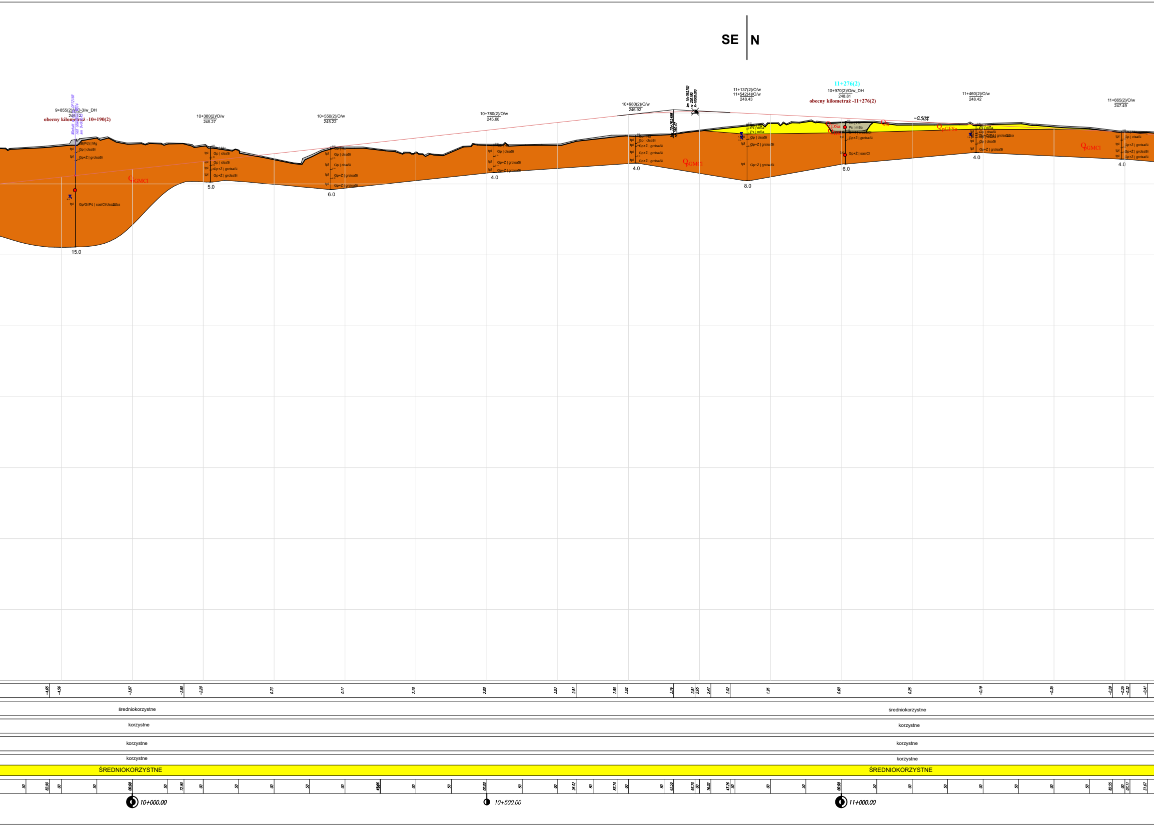
SE
N
9+855(2)/WD-3/w_DH
246.12
obecny kilometraż -10+190(2)
10+380(2)/O/w
245.27
10+550(2)/O/w
245.22
10+780(2)/O/w
245.60
10+980(2)/O/w
246.92
11+137(2)/O/w
11+542(4)/O/w
248.43
11+276(2)
10+970(2)/O/w_DH
248.81
obecny kilometraż -11+276(2)
11+460(2)/O/w
248.42
11+665(2)/O/w
247.49
-0.50%
B(Pd) | Mg
Gp | clsaSi
Gp+Ż | grclsaSi
Gp/G/Pd | sasiCl/clsaSifsa
Ps | mSa
Gp+Ż | sasiCl
tpl
Q_GMCl
Q_pGMCl
Q_DSa
Q_pGFSa
Q_h
15.0
5.0
6.0
4.0
4.0
8.0
6.0
4.0
4.0
średniokorzystne
korzystne
korzystne
korzystne
ŚREDNIOKORZYSTNE
średniokorzystne
korzystne
korzystne
korzystne
ŚREDNIOKORZYSTNE
10+000.00
10+500.00
11+000.00

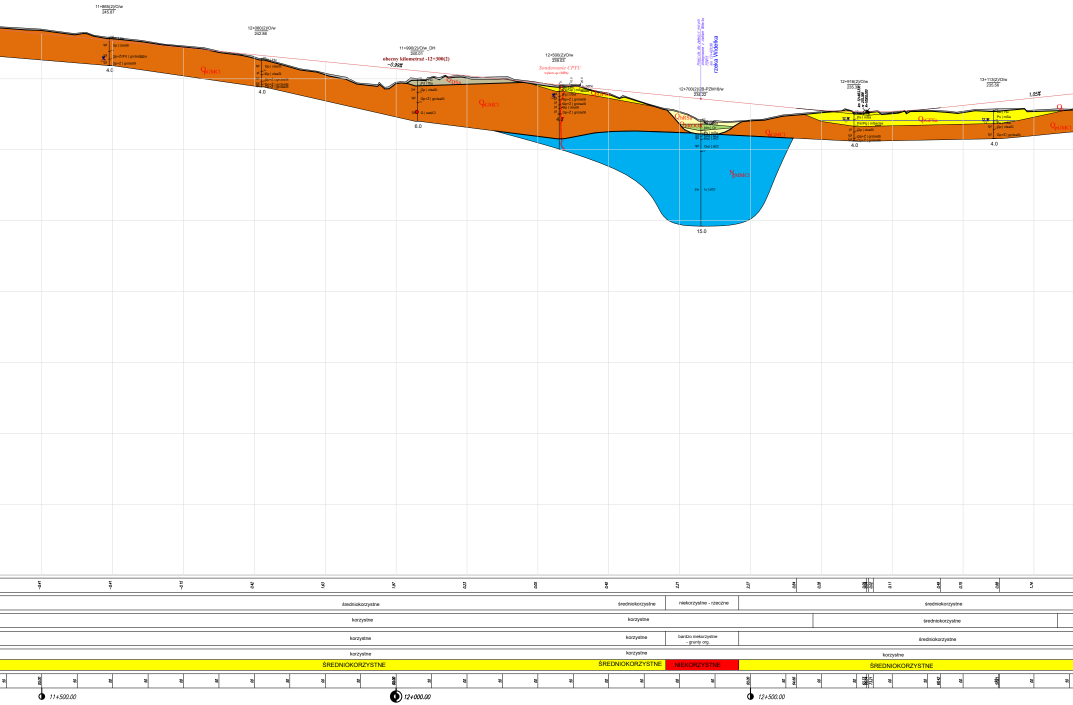
11+865(2)/O/w
245.87
tpl
Gp | clsaSi
Gp+Ż//Pd | grclsaSi/fsa
Gp+Ż | grclsaSi
4.0
QpGMCl
12+080(2)/O/w
242.86
Hu
Gp | clsaSi
Gp+Ż | grclsaSi
4.0
11+990(2)/O/w_DH
240.01
obecny kilometraż -12+300(2)
−0.99%
Hu
Pd | fSa
zw
Gp | clsaSi
Gp+Ż | grclsaSi
G | sasiCl
6.0
QDSa
QpGMCl
12+500(2)/O/w
239.03
Sondowanie CPTU
wykres qc (MPa)
0
10.0
20.0
(MPa)
Ps//Gp | mSaclsa
Pg | clSa
Gp+Ż | grclsaSi
Gp | clsaSi
pl
4.0
QpGFSa
Przejście dla zwierząt małych zintegrowane z ciekiem Widełka
PZM15
km 12+429.96
rzeka Widełka
12+700(2)/2B-PZM18/w
234.22
QhRSa
QhROOR
Nm | Or
Ps | mSa
Grz | siCl
zw
Ig | siCl
15.0
NgMMCl
QpGMCl
12+916(2)/O/w
235.3
km 12+463.333
rz 235.368
R=10000.000
Ps | mSa
Ps//Pg | mSaclsa
Gp | clsaSi
Gp+Ż | grclsaSi
4.0
QpGFSa
13+113(2)/O/w
235.56
1.05%
Hu
Ps | mSa
Gp | clsaSi
Gp+Ż | grclsaSi
4.0
QpGMCl
−0.41
−0.41
−0.15
0.42
1.63
1.97
0.23
0.05
0.40
2.21
2.27
0.84
0.28
0.11
0.49
0.75
0.88
1.74
średniokorzystne
średniokorzystne
niekorzystne - rzeczne
średniokorzystne
korzystne
korzystne
średniokorzystne
korzystne
korzystne
bardzo niekorzystne - grunty org.
średniokorzystne
korzystne
korzystne
korzystne
ŚREDNIOKORZYSTNE
ŚREDNIOKORZYSTNE
NIEKORZYSTNE
ŚREDNIOKORZYSTNE
11+500.00
12+000.00
12+500.00

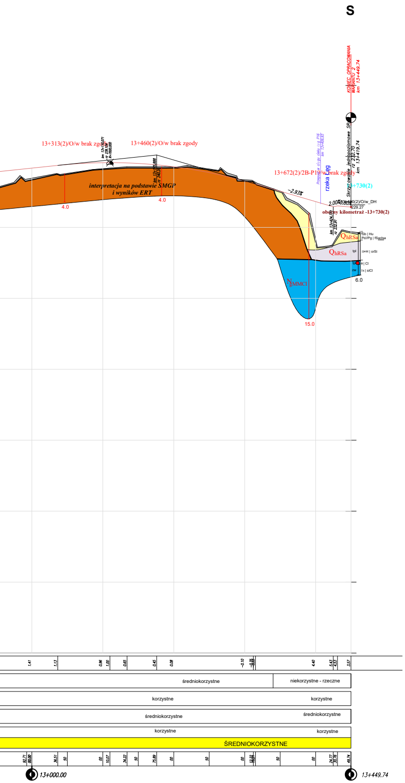
S
KONIEC OPRACOWANIA WARIANTU 2 km 13+449.74
13+313(2)/O/w brak zgody
13+460(2)/O/w brak zgody
km 13+170.071 rz 239.124 R=7000.000
km 13+325.888 rz 240.20
interpretacja na podstawie SMGP i wyników ERT
4.0
4.0
13+672(2)/2B-P19/w brak zgody
Przepust w ciągu cieku Łęg P16 km 13+408.93
rzeka Łęg
Skrzyżowanie jednopoziomowe SR rz 232.70 km 13+419.74
13+730(2)
-2.93%
2.00%
0.80%
13+430(2)/O/w_DH
229.27
obecny kilometraż -13+730(2)
km 13+424.79 rz 232.91
QhRSa
QhRSa
NgMMCl
Gb | Hu
Pd/Pg | fSaclsa
tpl
nı+H | orSi
tpl
Iı | Cl
zw
Ix | siCl
6.0
15.0
1.41
1.13
0.96
1.00
0.65
0.45
0.08
-0.10
4.40
5.43
4.53
3.57
średniokorzystne
niekorzystne - rzeczne
korzystne
korzystne
średniokorzystne
średniokorzystne
korzystne
korzystne
ŚREDNIOKORZYSTNE
92.71
00.00
36.51
50
00
10.07
34.22
50
75.89
00
50
00
12.22
50
00
24.77
30.76
49.74
13+000.00
13+449.74

OBJAŚNIENIA:

2.61% - projektowana niweleta

km 0+618.737 rz 206.146 R=8000.000 - profile i etykiety projektowanych elementów konstrukcyjnych drogi

- powierzchnia terenu

7+527(4)/O/w.....
6+431(2)/2B-PZDd11/w.....
1+528(4)/4B-MG3/w...... - wykonane otwory badawcze

6+200(2)/O/w+(3)+(4)_DH
1+285(4)/MS-1/w_DH - archiwalne otwory hydrogeologiczne

7+527(4)/O/w - numer otworu
233.50 - rzędna terenu (m n.p.m.)
▽▼ 4.3 - zwierciadło swobodne (m p.p.t.)
▽/▼ 5.9 4.4 - zwierciadło naporowe (m p.p.t.)
▼ 3.8 - sączenie (m p.p.t.)
Pd, Gp, Π - symbol gruntu
fSa,mSa - symbol gruntu zgodny z ISO
- granice stratygraficzne
- granice genetyczne
● - miejsce pobrania próbki kategorii B

A$_{Mg}$
Q$_{pRTSa}$
Q$_{pGMCl}$
N$_{gMMCl}$ - symbol warstwy litologicznej

Wykresy sondowań

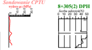

0 20 40 60

Inwestor: GDDKiA	Skarb Państwa - Generalny Dyrektor Dróg Krajowych i Autostrad - działający przez Generalną Dyrekcję Dróg Krajowych i Autostrad Oddział w Rzeszowie 35-959 Rzeszów ul. Legionów 20
Wykonawca: PROMOST CONSULTING	ul. Jana Niemierskiego 4 35-307 Rzeszów
Podwykonawca: GEO-MI	GEO-MI Pracowania Geologiczna Michał Małuszyński ul. Grażyny 16, lok. 14, 93-309 Łódź
Zadanie inwestycyjne:	Budowa obwodnicy Kolbuszowej w ciągu drogi krajowej DK9
Obiekt budowlany:	Droga krajowa nr 9 - obwodnica Kolbuszowej
Nazwa części opracowania:	STUDIUM GEOLOGICZNO-INŻYNIERSKIE
Tytuł rysunku:	**Syntetyczny przekrój geologiczny** **Wariant nr 2A - km 7+100-13+449**

Funkcja:	Imię i Nazwisko:	Branża/nr uprawnień:	Podpis:
Geolog:	mgr Tomasz Piwowarski	geologia VII-1521	
Geolog:	mgr inż. Anna Rzempowska	geologia VII-1822	A. Rzempowska

Nr umowy:	Skala:	Data:	Stadium:	Branża:	Nr rysunku:
2413.21.2020 z dn. 12.04.2021	1:2000/200	MARZEC 2023	STEŚ-R Etap I	G	10.W2A.2